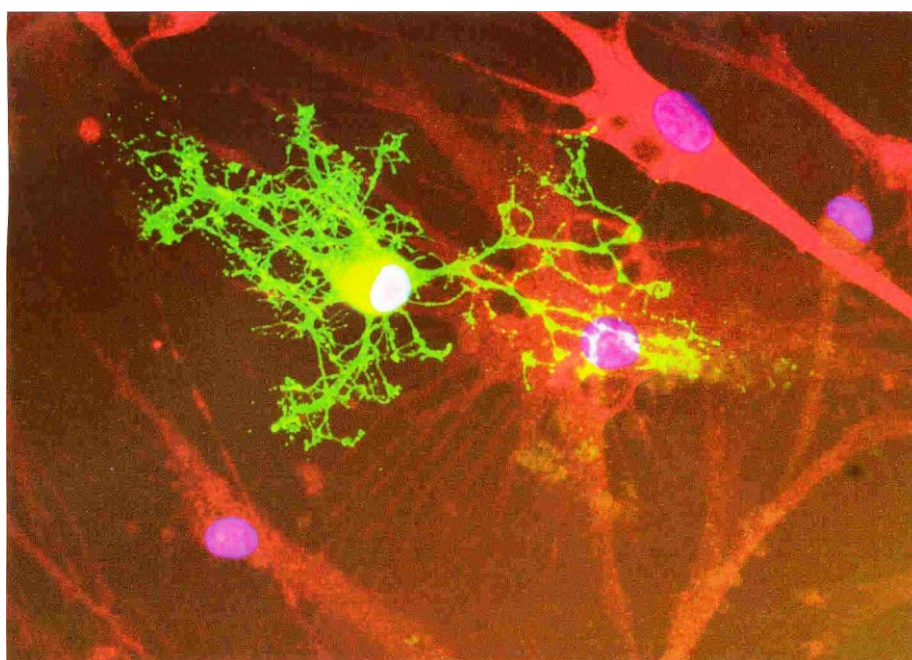
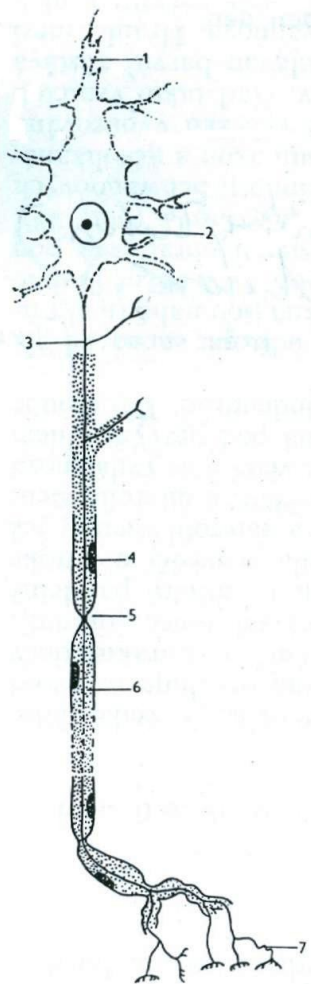


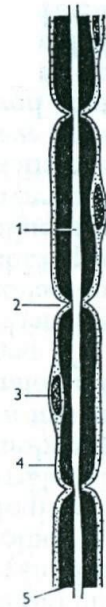
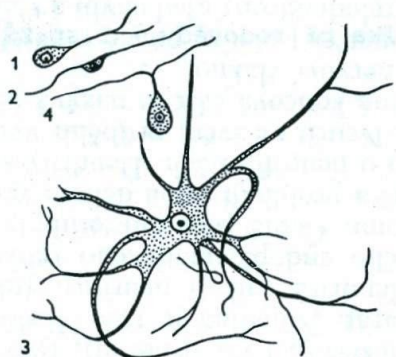
Obr. 5.361 Schéma nervosvalové ploténky. Synaptická štěrbina je zrasením membrány svalového vlákna v množství mělkých žlábků modifikovaná ve smyslu zvětšení příjmové plochy synapse. Signálem ke vzniku akčního potenciálu svalu je uvolnění mediátoru na ploténce (tj. acetylcholinu).





31. Schéma neuronu
 1 dendrit; 2 tělo buňky (perikaryon); 3 axon;
 4 jádro Schwannovy buňky; 5 Ranvierův zářez;
 6 meylinová pochva; 7 terminální rozvětvení.

32. Neurony
 1 unipolární; 2 bipolární; 3 multipolární;
 4 pseudounipolární.

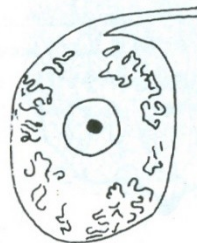


33. Obaly nervového vlákna
 1 axon; 2 Ranvierův zářez;
 3 jádro Schwannovy buňky;
 4 Schwannova pochva;
 5 myelinová pochva.
 Podle Wolfa.

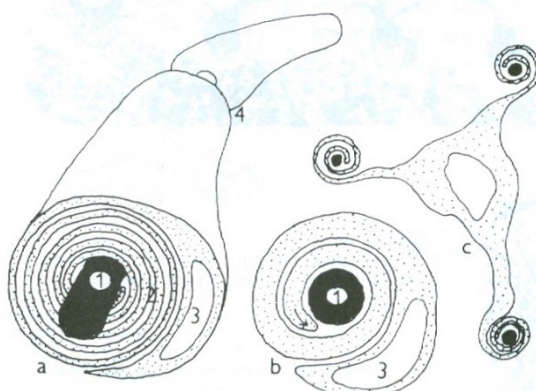


Obr. 12.73
Neurony spinálního ganglia, ležící ve vazivových pouzdrech

Obr. 12.74
Golgiho systém
(diktyozómy) buňky spinálního ganglia



Obr. 12.75
Nisslova substance (tigroid) v perikaryu neuronu

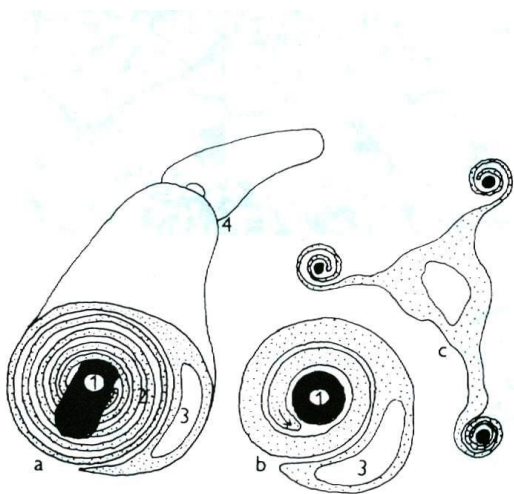


1 - axon, 2 - vrstvy myelinu, 3 - jádro Schwannovy buňky, 4 - Ranvierův zářez.
První vrstva myelinu na periférii, kde je uloženo jádro Schwannovy buňky představuje Schwannovu pochvu.

Obr. 12.76

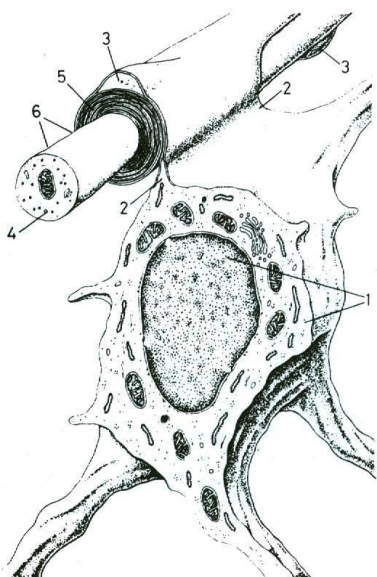
Myelinizace.

- a - myelinizovaný periferní axon,
- b - počátek myelinizace:
Schwannova buňka se výběžkem obtáčí kolem axonu.
Šipka ukazuje směr tvorby nových vrstev myelinové pochvy,
- c - oligodendrocyt v centrální nervové soustavě vytváří svými výběžky myelinovou pochvu kolem většího počtu axonů.



Obr. 12.76
Myelinizace.
 a - myelinizovaný periferní axon,
 b - počátek myelinizace:
 Schwannova buňka se výběžkem obtáčí kolem axonu.
 Šipka ukazuje směr tvorby nových vrstev myelinové pochvy,
 c - oligodendrocyt v centrální nervové soustavě vytváří svými výběžky myelinovou pochvu kolem většího počtu axonů.

1 - axon, 2 - vrstvy myelinu, 3 - jádro Schwannovy buňky, 4 - Ranvierův zářez.
 První vrstva myelinu na periferii, kde je uloženo jádro Schwannovy buňky představuje Schwannovu pochvu

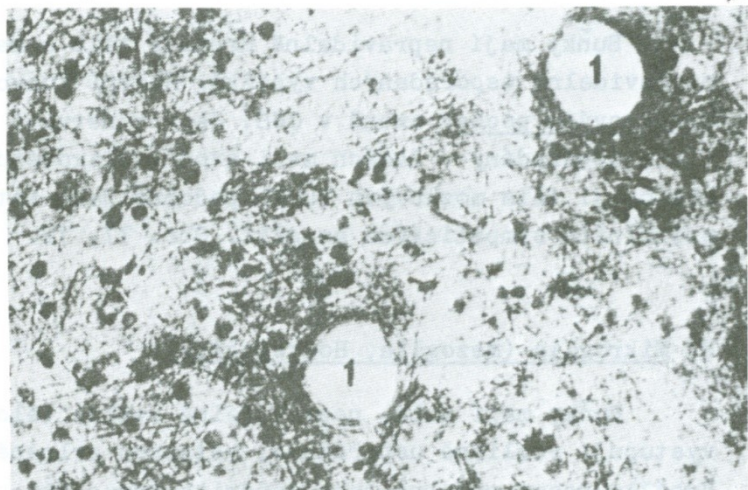


Obr. 72
Prostorové schéma vzniku myelinové pochvy nervových vláken CNS za účasti oligodendrocytů. 1 - oligodendrocyt. 2 - cytoplazmatický výběžek oligodendrocytu. 3 - zbytky cytoplazmy oligodendrocytu. 4 - axon. 5 - myelinová pochva. 6 - grafické znázornění spirálovitě uspořádané myelinové pochvy na povrchu axonu



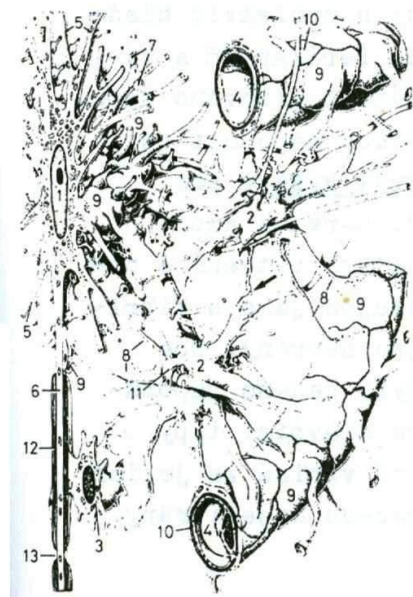
Obr. 77

Prostorová rekonstrukce glií CNS.
 1 - multipolární nervová bunky.
 2 - plazmatický astrocyt.
 3 - oligodendrocyt. 4 - krevní
 kapilára. 5 - dendrity. 6 -
 axon. 7 - synaptické úzlíky.
 8 - výběžky astrocytů. 9 -
 destičkovité zakončení výběžků
 astrocytů. 10 - bazální blána
 kapiláry. 11 - kratší podpůrné
 výběžky astrocytů. 12 - myelino-
 vá pochva. 13 - Ranvierův zárez.



Obr. 78

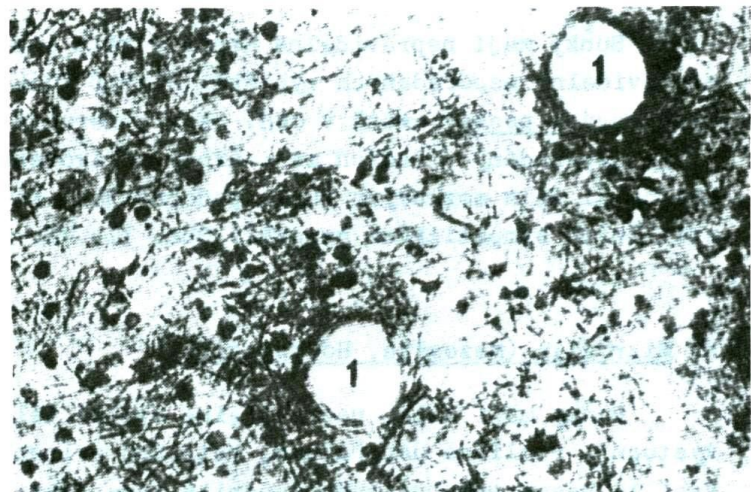
Makroglia bílé hmoty mozečku potkana. Zvýrazněny pouze buňky s jádry (ovální tmavé útvary) a jejich výběžky. Všimněte si nahromadění makrogliei v okolí krevních kapilár (1). Řezový
 preparát. Srovnej s obr. 77.



Obr. 77

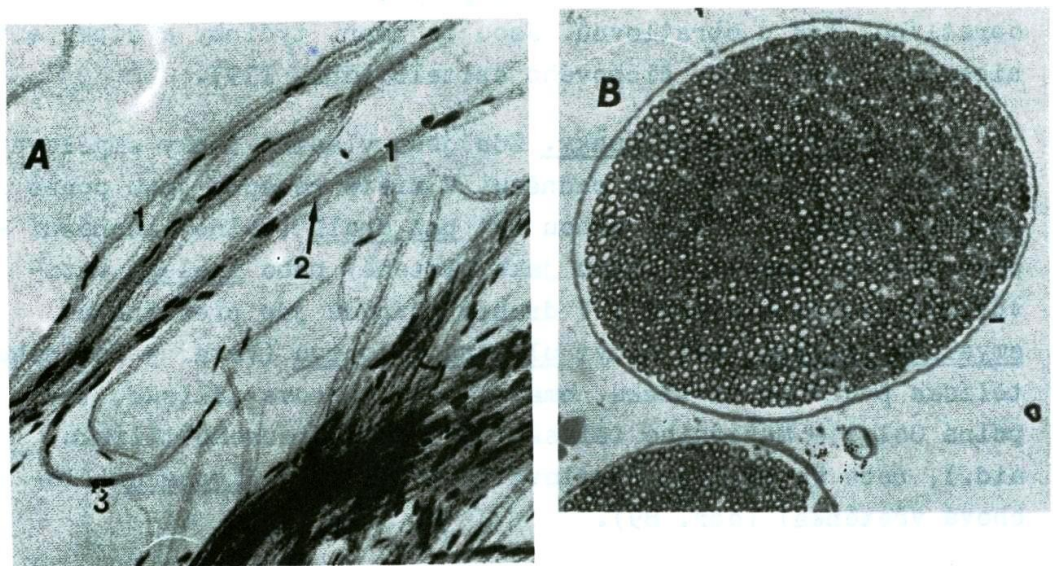
Prostorová rekonstrukce glií CNS.

- 1 - multipolární nervová bunky.
- 2 - plazmatický astrocyt.
- 3 - oligodendrocyt. 4 - krevní kapilára. 5 - dendrity. 6 - axon. 7 - synaptické úzlíky.
- 8 - výběžky astrocyti. 9 - destičkovité zakončení výběžků astrocytu. 10 - bazální blána kapiláry. 11 - kratší podpůrné výběžky astrocytu. 12 - myelinová pochva. 13 - Ranvierův zárez.



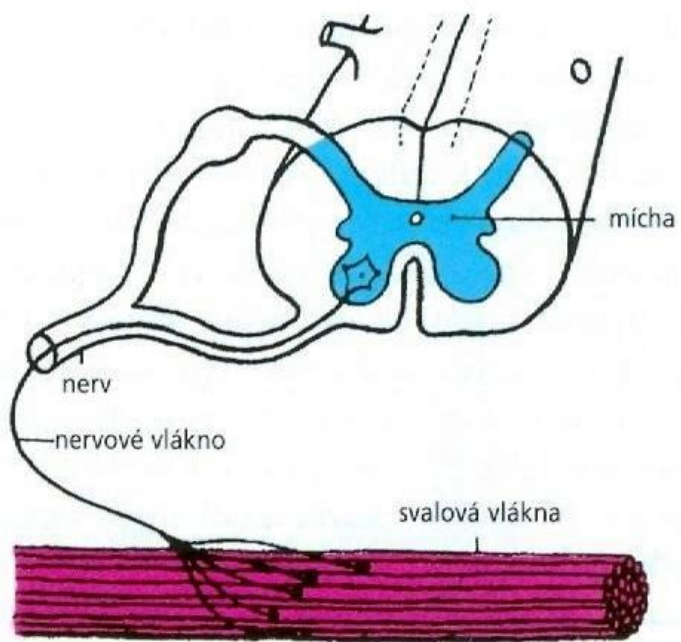
Obr. 78

Makroglia bílé hmoty mozečku potkana. Zvýrazněny pouze buňky s jádry (ovální tmavé útvary) a jejich výběžky. Všimněte si nahromadění makrogliei v okolí krevních kapilár (1). Rezový preparát. Srovnej s obr. 77.



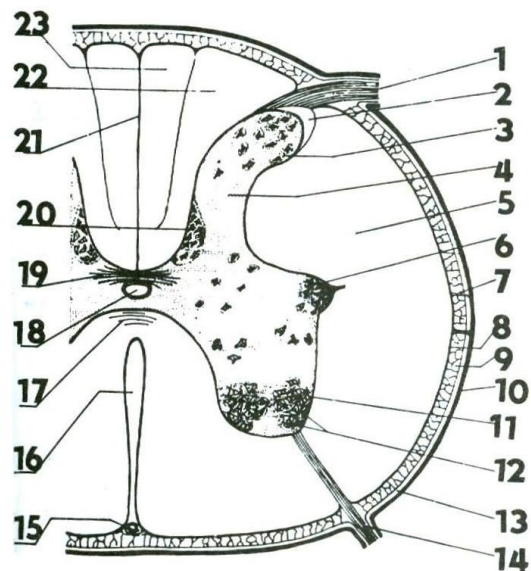
Obr. 74

Periferní nerv žáby. Nervus ischiadicus byl podélně nařezán, mechanicky rozvolněny neurity, rozpuštěna myelinová pochva.
 1 - neurit, obalený Schwannovou pochvou a bazální blánou.
 2 - vlastní neurit (axon). 3 - jádra Schwannových buněk.
 Totální preparát -(A). B - Řezový preparát.



Obr. 5.360 Diagram představující motorickou jednotku, tj. určitý počet svalových vláken aktivovaných jednou nervovou buňkou. Velikost neuronu a svalových vláken je na obrázku nepřiměřeně zvětšena vzhledem k velikosti mýchy a tím i vzhledem k množství motorických neuronů v předních rozích mýšních.

Obr. 128



- Schéma struktur míchy člověka na příčném řezu:
- 1 - dorzální míšní kořen
 - 2 - substantia gelatinosa
 - 3 - zadní roh
 - 4 - šedá hmota
 - 5 - bílá hmota
 - 6 - postranní roh
 - 7 - mozkové pleny
 - 8 - pia mater
 - 9 - arachnoidea
 - 10 - dura mater
 - 11 - přední roh
 - 12 - perikaryony motorických neuritů
 - 13 - subdurální prostor
 - 14 - ventrální míšní kořen
 - 15 - krevní céva
 - 16 - ventrální sagitální štěrbina
 - 17 - bílá komisúra
 - 18 - ependymální kanál
 - 19 - šedá komisúra
 - 20 - nucleus dorsalis Clarkii
 - 21 - dorzální septum
 - 22 - fasciculus cuneatus
 - 23 - fasciculus gracilis